

船舶与海洋工程系列
CHUANBO YU HAIYANG GONGCHENG XILIE



船舶推进节能技术与 特种推进器

● 黄胜◎编 著



哈尔滨工程大学出版社
Harbin Engineering University Press

立德树人

船舶与海洋工程系列
CHUANBO YU HAIYANG GONGCHENG XILIE



船舶推进节能技术与 特种推进器

• 黄 胜 ◎ 编 著



 哈尔滨工程大学出版社
Harbin Engineering University Press

内容简介

本书是作者在收集大量国内外研究资料的基础上编写的。书中综合介绍了国内外,特别是国内各院校、研究所在船舶节能技术与特种推进器方面的研究成果,对于有关的理论基础和节能原理作了较详尽的推导和说明,并结合工程设计和实验的结果,介绍节能效果及设计中应注意的一些问题。

本书可做为船舶与海洋工程专业学生教材使用,也可供相关专业技术人员参考使用。

ISBN 978 - 7 - 81007 - 866 - 5

出版发行 哈尔滨工程大学出版社
社址 哈尔滨市南岗区东大直街 124 号
邮政编码 150001
发行电话 0451 - 82519328
传真 0451 - 82519699
经销 新华书店
印刷 肇东粮食印刷厂
开本 787mm × 1 092mm 1/16
印张 9.5
字数 222 千字
版次 2007 年 10 月修订
印次 2007 年 10 月第 2 次印刷
定 价 19.00 元

<http://press.hrbeu.edu.cn>

E-mail: heupress@hrbeu.edu.cn

1664.3
H91
(1, 1)



前　　言

近年来,船舶节能技术已成为国内外造船工作者十分关注的问题,而开发新的节能船型、新的附加流体动力节能装置和高效节能特种推进器则成为研究船舶节能技术的热点。在这个领域的理论研究和实验研究方面,国内外的造船学者作了大量的工作,并取得了显著的成果。

笔者和所指导的研究生们在螺旋桨基础理论(如非线性升力线理论、升力面理论)、螺旋桨尾流场的理论计算、桨舵干扰的理论与实验研究、附加流体动力节能装置(如 Grim 叶轮、扭曲舵等)方面进行了较系统的研究工作,深感需要一本系统介绍本领域研究成果的书籍。

笔者在收集大量国内外研究资料的基础上编写此书,力图综合介绍国内外,特别是国内各院校、研究所在这方面的新成果。当然也包含作者近十几年来在这方面的研究体会。在介绍有关内容时,尽可能全面、系统地反映国内外的研究历史与现状。对于有关的理论基础和节能原理作了较详尽的推导和说明,并结合工程设计和实船实验的结果,介绍节能效果及设计中应注意的一些问题。

本书成稿前曾作为我校研究生教学讲义使用多年,这次做了较全面的修订,并补充了一些新内容。本书可供造船科技工作者参考使用,也可作为研究生和本科生的选修教材。

由于国内外尚未见到正式出版的有关书籍,加之作者水平和时间所限,本书的错误和缺点在所难免,恳请批评指正。

黄　胜

概述

不同种类的复合材料~

应用

优缺缺点

固晋设计



目 录

第1章 船舶推进节能概论	1
1.1 航运事业与船舶节能	1
1.2 提高船舶推进效率的途径	2
第2章 船舶推进节能技术的理论基础	4
2.1 螺旋桨运转时的能量损失	4
2.2 螺旋桨后尾流场诱导速度的理论计算	8
2.3 舵对桨后尾流场的影响	17
第3章 节能船型的研究	22
3.1 非对称尾船型	22
3.2 双尾鳍船型	29
3.3 蜗尾船型	34
3.4 浅水纵流隧道尾船型	36
3.5 球尾船型	39
第4章 附加流体动力节能装置的开发	41
1. 自动回转螺旋桨	41
1.1 螺旋桨后自由旋转助推叶轮	41
1.2 固定式反应鳍类	53
2. 细向量折叠	43
2.1 螺旋桨毂帽鳍	58
3. VARIFOLD	44
3.1 变形舵	62
3.2 多叶片	45
3.3 风力助推装置	67
4. 带端板	55
4.1 附加流体动力节能装置的开发	70
5. 新桨叶	51
5.1 无梢涡螺旋桨(TVF桨)	70
5.2 部分浸水螺旋桨	76
5.3 低转速大直径螺旋桨	79
5.4 导管螺旋桨	82
5.5 调距螺旋桨	99
5.6 串列螺旋桨	110
5.7 竖轴直翼推进器	115
5.8 全方位推进器	127
5.9 喷水推进器	133
5.10 磁流体推进装置	142
6. 前缘凹凸节	56
6.1 前缘凹凸节	56
6.2 前缘凹凸节	56
7. 条纹桨叶，变调叶梢端鳍	57
8. 激光推进	58



第 1 章

船舶推进节能概论

1.1 航运事业与船舶节能

我国是一个水运资源十分丰富的国家,长江、珠江、黑龙江、淮河等水系的通航河流有5 600余条,内河通航里程约11万公里;我国沿海海岸线1.8万余公里,内河、沿海和远洋运输都很活跃。据20世纪80年代中期统计,我国的内河专业运输船舶已达760万载重吨、956 MW(130万马力);上海、广州两个海运局的300余艘沿海海轮的年货运量约8 000万吨;远洋运输的1 200余艘运输船舶达1 700万载重吨;机动渔船22万余艘、约4 630 MW(630万马力)。船舶运输事业对国民经济的发展具有十分重要的意义。

解放后,特别是改革开放以来,虽然我国的水运事业已经有了很大的发展,但与发达国家相比还有很大的差距。特别是运输成本,美国的内河运输成本为铁路的 $1/2 \sim 1/5$,德国为 $1/3$,前苏联为 $1/4 \sim 1/5$,而中国的内河运输成本(每千吨公里)却比铁路高出近一倍。只有长江轮船总公司的成本与铁路运输相近。这除了航道、港口、管理等方面的原因之外,船舶落后,设备陈旧,耗能量大,也是重要的原因。

20世纪70年代初,国际上石油价格飞涨,能源严重短缺,各国开始竞相研究各种船舶节能措施。据统计,在一艘常规运输船的能耗中,主机约占65%,船舶电站(辅机)和锅炉分别约占25%和10%。而主机的全部能耗中,废气、主机冷却水、增压空气约占50%~55%,其余的45%~50%能量可转化为带动螺旋桨旋转、克服船舶阻力、推动船舶前进的功。船舶推进节能的主要措施有。

1. 开展优秀船型的研究,降低船舶阻力,改善与螺旋桨的配合,提高推进效率。

单螺旋桨常规运输船的附体阻力约为5%~8%,双螺旋桨船则为8%~15%,其他阻力成分中,高速船以兴波阻力为主,低速船则以摩擦阻力为主。各国致力于节能船型的研究收到了明显的效果。英国造船学会统计1983年新建船舶与1970~1975年所造船舶相比,由于主尺度选择和线型设计的改进,平均节能达8%。造船工作者们对船舶尾部线型的研究倾注了更多的精力,以求改善船—桨配合,出现了不对称船尾、双尾鳍船型、蜗尾船型、球尾船型等,均收到较为显著的节能效果。

2. 发展高效推进器

为了提高推进效率,国内外都在研究有别于常规螺旋桨的各种新型高效推进装置,如低转速大直径螺旋桨、适伴流距距桨、导管螺旋桨、无梢涡螺旋桨以及部分浸水螺旋桨等。例如,1982年建造的35 000吨干货船“Sokorri”号采用无梢涡螺旋桨,实船实验表明在同样航速下与常规桨姐妹船比较,满载状态节省功率14.3%,压载状态节省功率24%。

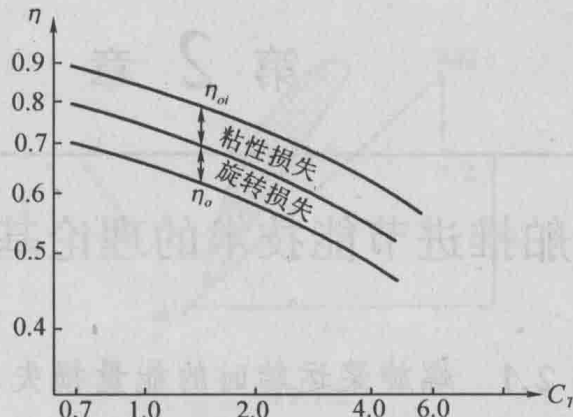


图 1.1.1

轮、桨毂帽鳍等。

2. 提高相对旋转效率 η_r

由于伴流不均匀性对推力和转矩的影响系数为 $i_1 = T/T_0$, $i_2 = Q/Q_0$, 而相对旋转效率为 $\eta_r = \frac{1}{i_2}$ (T 、 T_0 、 Q 、 Q_0 分别为船后和敞水时的推力及转矩)。故使伴流分布均匀是提高 η_r 的决定因素。除了在船型设计时要充分考虑外, 桨前的一些附加装置亦可起到整流的作用。

3. 提高船身效率 η_H

船身效率为 $\eta_H = \frac{1-t}{1-w}$ (t 、 w 分别为推力减额系数和伴流分数), 因此伴流系数 w 越大, 效率越高。利用伴流主要是利用摩擦伴流, 因此低速船一般采用 U 型艉。桨前的一些水动力节能装置亦可改变伴流的大小。螺旋桨与船体及附加装置的合理配合可以减少推力减额分数, 从而提高船身效率。

4. 提高轴系传送效率 η_s

轴系传送效率 η_s 是纯粹的机械传送效率, 与船体及螺旋桨的水动力性能无关。

Ys

ZHD



第 2 章

船舶推进节能技术的理论基础

2.1 螺旋桨运转时的能量损失

在船舶推进的基础知识中, 我们已经推导了叶元体的效率 η_{or}

$$\eta_{or} = \frac{V_A}{V_A + u_a/2} \cdot \frac{wr - u_t/2}{wr} \cdot \frac{1 - \epsilon \operatorname{tg} \beta_i}{1 + \epsilon / \operatorname{tg} \beta_i} = \eta_{ia} \eta_{it} \eta_e \quad (2-1-1)$$

其中 u_a 、 u_t 分别为螺旋桨轴向、切向诱导速度, β_i 为水动力螺距角。 η_{ia} 、 η_{it} 、 η_e 分别称为轴向诱导效率、周向诱导效率和结构效率。由于螺旋桨作为推进器工作时必须带动水流后推并旋转, 因此, 轴向诱导损失 L_a , 周向诱导损失 L_t 是不可能完全避免的, 它们由(2-1-1)式中的 u_a 、 u_t 和 ϵ 决定, 随着螺旋桨载荷系数的增大而增加。运转的螺旋桨桨叶与水的粘性摩擦作用产生的损失为剖面阻力损失 L_e , 各种损失的比值依赖于各螺旋桨载荷沿径向的分布(与沿径向的桨叶宽度和螺距分布有关), 同一螺旋桨其比值随不同工况而变化, 如图 2.1.1。

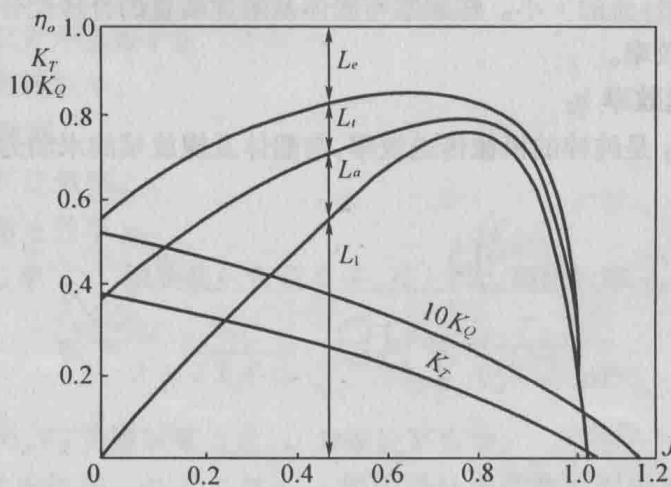


图 2.1.1

1. 螺旋桨的能量损失计算

日本石川岛播磨重工(IHI)技术研究所从理论和实验的不同角度研究了回收螺旋桨尾流的能量问题, 对能量损失的计算提出以下方法。

设 Betg 的正交条件成立, 螺旋桨的总体效率等于 $0.7R$ (R 为半径) 处叶元体的效率。在

叶元体上发生的升力、阻力与来流的关系如下图。

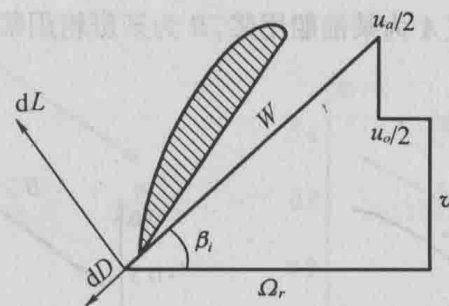


图 2.1.2

dL —叶元体上的升力；

dD —叶元体上的阻力；

u_a —桨后无穷远处轴向诱导速度；

u_t —桨后无穷远处周向诱导速度。

螺旋桨给予流体的能量的为 ΩdQ , 推力所做功为 $V_0 dT$, 其差为流体带走的能量。

$$\Omega dQ - V_0 dT = \frac{u_a}{2} dT_0 + \frac{u_t}{2} \frac{dQ_0}{r} + ZWdD \quad (2-1-2)$$

其中 $dT = Z(dL\cos\beta_i - dD\sin\beta_i)$

$$dQ = Zr(dL\sin\beta_i + dD\cos\beta_i)$$

$$dT_0 = ZdL\cos\beta_i$$

$$dQ_0 = ZrdL\sin\beta_i$$

由于 $\frac{u_a}{2} dT_0$ 、 $\frac{u_t}{2} \frac{dQ_0}{r}$ 、 $ZWdD$ 分别为轴向能量、旋转能量和翼面摩擦力的能量, 能量损失率分别为

$$\begin{cases} \eta'_a = \frac{u_a}{2} dT_0 / \Omega dQ_0 \\ \eta'_t = \frac{u_t}{2} \frac{dQ_0}{r} / \Omega dQ_0 \\ \eta'_v = ZWdD / \Omega dQ_0 \end{cases}$$

理想效率 $\eta_i = 1 - \eta'_a$

当桨叶翼元体的几何形状确定以后, 可利用 Lerbs 等价二元翼方法, 在给定螺旋桨敞水性能后求得 C_L 、 C_D 、 β_i , 从而得到各损失的计算结果。

$$\begin{cases} \eta'_a = \frac{C_L \sqrt{\lambda^2 + \xi^2} \sin(\beta_i - \beta) \cos^2 \beta_i}{(C_L \sin \beta_i + C_D \cos \beta_i) \xi} \\ \eta'_t = \frac{C_L \sqrt{\lambda^2 + \xi^2} \sin(\beta_i - \beta) \sin^2 \beta_i}{(C_L \sin \beta_i + C_D \cos \beta_i) \xi} \\ \eta'_v = \frac{C_D \sqrt{\lambda^2 + \xi^2} \cos(\beta_i - \beta)}{(C_L \sin \beta_i + C_D \cos \beta_i) \xi} \end{cases} \quad (2-1-3)$$

其中 $\lambda = \operatorname{tg}\beta = \operatorname{arctg} \frac{v_0}{\Omega r}$, $\xi = \frac{r}{R} = 0.7$, (2-1-3)式的详细推导见附录一。

石田骏一对两个模型桨(A 为某油船用桨, B 为某班轮用桨)进行了实例计算,结果如图2.1.3。

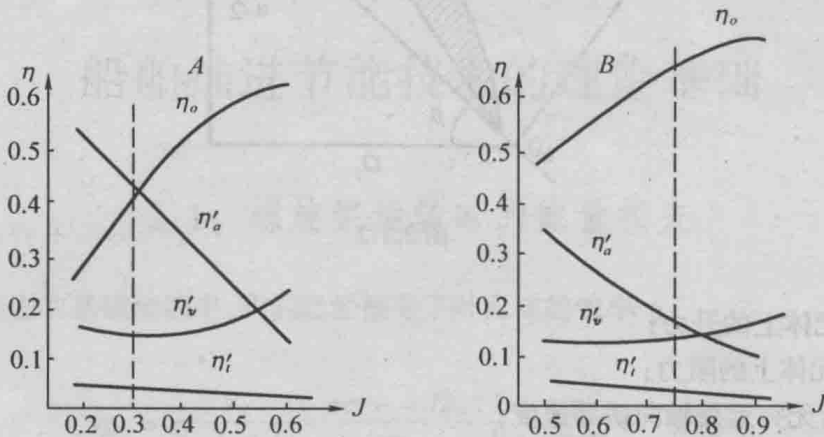


图 2.1.3

可见进速系数 J 越小, η'_t/η_0 之值越大, A 桨在设计点 $J=0.3$ 时 $\eta'_t/\eta_0=9.1\%$, B 桨在设计点 $J=0.75$ 时 $\eta'_t/\eta_0=5.5\%$, 大负荷工作油船桨后旋转能的损失减少后可收回约 10% 的效率。

2. 桨后不同位置的能量变化

轴向能量和旋转能量都以动能的形式存在于流体之中, 翼面摩擦力的能量则由粘性所致, 由翼面给予流体以动能的形式在翼面附近的边界层中以热能的形式逸散。在桨后与轴线相垂直的不同断面位置上, 单位时间通过各断面的轴向能量和旋转能量分别为 E_a 、 E_t , 则有

$$\begin{cases} E_a = \frac{\rho}{2} \int_{s_p} (v_0 + u_a) u^2 ads \\ E_t = \frac{\rho}{2} \int_{s_p} (v_0 + u_a) u^2 tds \end{cases} \quad (2-1-4)$$

通过计算我们可以看出 E_t 几乎不随 X/D 而变化, 如图 2.1.4。

我们定义 $X/D=1.0$ 时轴向动能、旋转动能与输入功之比分别为 η''_a 、 η''_t 。

$$\begin{cases} \eta''_a = E_a / \Omega Q \\ \eta''_t = E_t / \Omega Q \end{cases} \quad (2-1-5)$$

对于 C 桨, 理论计算的 η'_a 、 η'_t 与实验求得的 η''_a 、 η''_t 之比较如图 2.1.5, 由图可见 η'_t 与 η''_t 近似相等。在船舶推进节能技术中, 作为能量回收的对象, 一般在 $X/D=1.0 \sim 3.0$ 附近。

3. 粘性影响

一般在研究螺旋桨尾流的能量时, 常把螺旋桨工作区域以外的水流当作非粘性流。石田骏一利用尾流测量的结果研究了桨后在 $0.125D \sim 2.0D$ 范围内在什么距离可简化为非粘性流动。根据粘性对流场的影响及对桨翼面边界层影响的比较, 认为螺旋桨尾流受粘性影响的程度可以分为以下三个相互重叠的领域。

$$\frac{\frac{u_t}{2} dL \sin \beta_i}{\Omega r (dL \sin \beta_i + dD \cos \beta_i)} = \frac{\frac{\Omega r}{\cos \beta} \sin(\beta_i - \beta) \sin \beta_i C_L \sin \beta_i}{\Omega r (C_L \sin \beta_i + C_D \cos \beta_i)} =$$

$$\frac{C_L \sqrt{\tan^2 \beta + \xi^2} \sin(\beta_i - \beta) \sin^2 \beta_i}{(C_L \sin \beta_i + C_D \cos \beta_i) \xi}$$

$$\eta'_{\nu} = zw dD / \Omega dQ = \frac{\frac{z \Omega r}{\cos \beta} \cos(\beta_i - \beta) C_D}{\Omega Z r (C_L \sin \beta_i + C_D \cos \beta_i)} =$$

$$\frac{C_D \sqrt{\tan^2 \beta + \xi^2} \cos(\beta_i - \beta)}{(C_L \sin \beta_i + C_D \cos \beta_i) \xi}$$

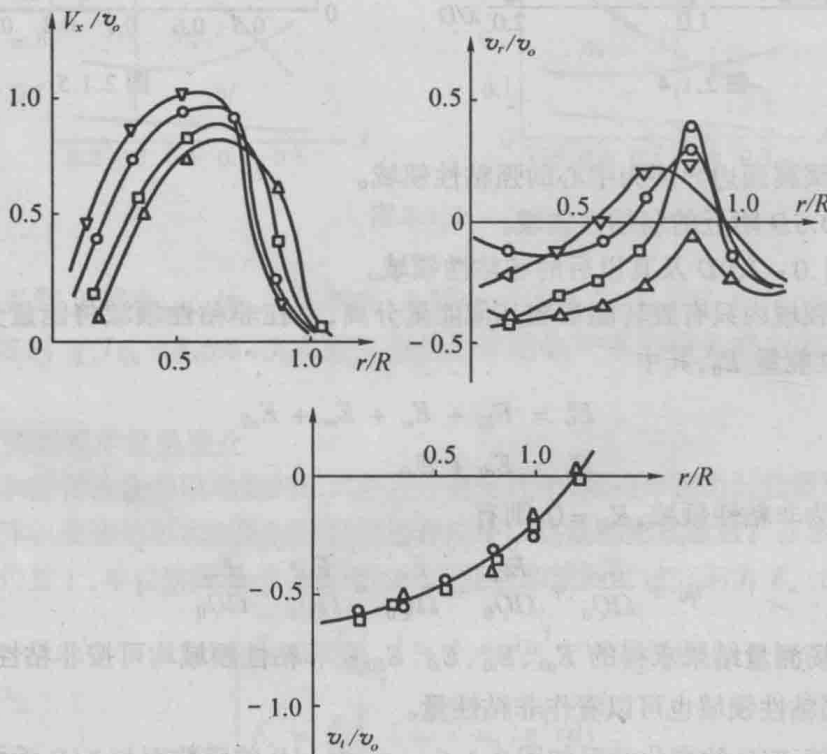


图 2.1.6

2.2 螺旋桨后尾流场诱导速度的理论计算

2.2.1 用推进器的动量理论计算 u_a

由船舶推进知识可知螺旋桨远后方的轴向诱导速度和推进负荷系数之间有如下的关系：

$$u_{a\infty} = v_p (\sqrt{1 + \sigma_p} - 1)$$

在桨盘处 $u_{a\infty} = \frac{1}{2} u_{a\infty}$, 在桨后某一点处的轴向诱导速度 $u_{ax} = k_x u_{a\infty}$, 其中 k_x 为取决于位置点 x 的系数

